

О МЕХАНИЗМЕ ЗАХВАТА ЭЛЕКТРОНОВ В УСКОРЕНИЕ В БЕТАТРОНЕ

II

Б. Н. РОДИМОВ

(Представлено научным семинаром физико-технического факультета)

Количество захватываемых в ускорение электронов и зависимость его от различных параметров

Механизмом, благодаря которому количество захваченных в ускорение электронов подчиняется определенным закономерностям, является, по нашему мнению, образование равновесного электронного пучка, циркулирующего в камере бетатрона в виде замкнутого устойчивого кольца без каких-либо радиальных или аксиальных колебаний. Делая такое предположение на основании рассмотрения весьма грубой картины взаимодействия ленточных электронных пучков [1], мы постараемся доказать его справедливость следствиями из него получающимися.

Основные условия инжекции

Магнитное поле бетатрона будем считать меняющимся во времени, как это имеет место в реальных бетатронах, без учета, однако, фазовых сдвигов, азимутальной неоднородности и т. д. Магнитное поле будем по-прежнему характеризовать потенциальной функцией V_m , меняющейся теперь во времени и определяющей в каждый момент времени силы, действующие на электроны.

Конкретно мы будем рассматривать функцию V_m вида, приведенного в [2]:

$$V_{mc} = \frac{e}{2mc^2} \left[\frac{\frac{r^2 H_z}{2} + C}{r} \right]^2 = \left[\sqrt{V_{m0}} + \frac{C}{r} \sqrt{\frac{e}{2mc^2}} \right]^2, \quad (1)$$

где

$$V_{m0} = \frac{e A_0^2}{2mc^2} \left[a J_1(kr) + b N_1(kr) \right]^2 ch^2(kz) \quad (2)$$

есть потенциальная функция „нулевых“ электронов, для которых постоянная $C=0$ (см. в [2] графики этой функции для случая равновесного круга с радиусом $R_0=15\text{см}$ и $n_0=0,5$).

Исходя из определения постоянной $C = \frac{cmr^2\dot{\theta}}{e} = \frac{r^2 H_z}{2}$, можно написать ее выражение через значения величин для радиуса инжекции R_i

$$C = F \sqrt{U_0 \sin \omega t} \quad R_i^2 \frac{\bar{H}_{zam}}{2} \cdot \sin \Omega (\tau_0 + t), \quad (3)$$

где $U = U_0 \sin \omega t$ — напряжение импульса инжекции в вольтах, ω — частота импульса инжекции, \bar{H}_{zam} — амплитудное значение средней напряженности магнитного поля в круге радиуса R_i , Ω — частота магнитного поля, τ_0 — момент начала импульса инжекции (за начало отсчета τ_0 берется момент перехода магнитного поля через нуль, t отсчитывается от τ_0),

$F = \frac{c \cdot m}{e} \cdot 5,93 \cdot 10^7 R_i$, c , m , e — соответственно скорость света, масса и заряд электрона.

Так как $\Omega (\tau_0 + t)$ мало, то можно написать

$$C = F \sqrt{U_0 \sin \omega t} = R_i^2 \frac{\bar{H}_{zam}}{2} \Omega (\tau_0 + t). \quad (4)$$

Будем считать по-прежнему, что электронная пушка бетатрона работает в режиме насыщения, т. е. можно написать равенство

$$i = e \cdot 5,93 \cdot 10^7 \sqrt{U} \cdot \rho = \text{const}, \quad (5)$$

где ρ — плотность пучка электронов (число электронов в $см^3$).

Движение электронов в равновесном пучке

В [1] рассмотрен случай равновесного пучка электронов с одним значением постоянной C . Равновесный пучок электронов, состоящий из электронов с разными C , можно представить, если электроны с разными C будут занимать зоны на разных радиусах. Только в этом случае возможно равенство сил фокусирующих магнитного поля и сил дефокусирующих электрического поля пучка электронов. Другими словами, только в этом случае возможно выполнение равенства

$$\frac{\partial}{\partial r} \int \frac{e \rho_{рав} dV}{|\vec{r} - \vec{r}'|} = \frac{\partial V_m}{\partial r}$$

для каждого сорта электронов. Электроны с большими значениями C располагаются и на больших радиусах. Для любого значения C в реальном бетатроне равновесный пучок с электронами только одного C создать нельзя. Однако нельзя создать равновесный пучок и с электронами всех возможных значений C , так как при этом для электронов самого большого C магнитные силы будут равны нулю, значит и электрические силы должны быть равны нулю, что означает, что пучок электронов отсутствует. Таким образом, наиболее вероятно образование равновесного пучка из электронов со значениями C в узком интервале ΔC .

Границы области захвата

Кажется естественным считать областью захвата интервал значений C , для которых имеются потенциальные ямы.

Верхнее значение $C = C_{max}$ можно определить из следующих соображений. Для поля на радиусе r можно написать

$$H_z(r) = H_z(R_0) e^{-\int_{R_0}^r \frac{n(r)}{r} dr} \quad (6)$$

В точках минимумов потенциальных ям для различных C

$$H_z = \frac{\bar{H}_z}{2} + \frac{C}{r^2} \quad (7)$$

в частности для C_{max}

$$H_z = \frac{\bar{H}_z}{2} + \frac{C_{max}}{R_i^2} \quad (8)$$

где R_i — радиус инжекции (на этом радиусе $n = 1$, что соответствует дну последней верхней ямы).

Равенство (8) можно записать как

$$H_z(R_0) e^{-\int_{R_0}^{R_i} \frac{n(r) dr}{r}} = \frac{H_z(R_0)}{\left(1 + \frac{x_i}{R_0}\right)^2} \left[1 + \frac{1}{R_0^2} \int_{R_0}^{R_i} r e^{-\int_{R_0}^r \frac{n(r) dr}{r}} dr \right] + \frac{C_{max}}{R_i^2} \quad (9)$$

так как средняя напряженность поля в круге радиуса r будет

$$H_z(r) = \frac{2 H_z(R_0)}{\left(1 + \frac{x}{R_0}\right)^2} + \frac{2 H_z(R_0)}{r^2} \int_{R_0}^r r e^{-\int_{R_0}^r \frac{n(r) dr}{r}} dr \quad (10)$$

где $x = r - R_0$, $H_z(R_0)$ — напряженность на равновесном круге радиуса R_0 .

Беря для $n(r)$ значения из [2] для рассмотренного там случая $R_0 = 15$ и $n_0 = 0,5$, получим $C_{max} = 29,9 \cdot H_z(R_0)$.

Выражение (4) для C можно преобразовать так, чтобы в него входили значения величин на основном равновесном радиусе R_0 . Пользуясь выражением (8), получим

$$C = F \sqrt{U_0 \sin \omega t} - R_i^2 H_{zam}(R_i) \Omega(\tau_0 + t) + C_{max}(t) \quad (11)$$

Заменим $H_{zam}(R_i)$ через $H_{zam}(R_0)$ из выражения

$$H_{zam}(R_i) = H_{zam}(R_0) e^{-\int_{R_0}^{R_i} \frac{n(r)}{r} dr}$$

В нашем конкретном случае

$$H_{zam}(R_i) = H_{zam}(R_0) \cdot 0,7584.$$

Таким образом получаем

$$C = 73,3 \sqrt{U_0 \sin \omega t} - 4,20 \cdot 10^8 (\tau_0 + t).$$

Набор C со стороны отрицательных значений C в нашем случае ограничивается внутренней стенкой камеры, радиус которой принимаем равным $R_j = 9$ см. Минимальное C_{min} находим совершенно аналогично C_{max} из выражения

$$H_z(R_0) e^{+\int_{R_j}^{R_0} \frac{n(r)}{r} dr} = \frac{H_z(R_0)}{\left(1 + \frac{x_j}{R_0}\right)^2} \left[1 - \frac{1}{R_0^2} \int_{R_j}^{R_0} r e^{+\int_r^{R_0} \frac{n(r)}{r} dr} dr \right] + \frac{C_{min}}{R_j^2}, \quad (12)$$

где $x_j = R_j - R_0 = -6$ см.

Количество захваченных в ускорение электронов и связь его с током инжекции

Количество электронов Q , которое циркулирует в камере в каждый момент времени внутри общего периода захвата, будет определяться фокусирующими силами как на внешней границе полезной зоны (за которую берем радиус пушки R_i), так и на внутренней границе (на радиусе R_j внутренней стенки камеры). Считаем, что в каждый данный момент в камере находятся электроны только узкого интервала C (для простоты можно считать даже просто одного C). Введение новых электронов с новым значением C возможно лишь за счет потери электронов предыдущих C . Поэтому интервал ΔC электронов, имеющих в камере, будет непрерывно перемещаться по общему интервалу допустимых значений постоянной C ¹⁾.

Если изобразить зависимость количества электронов Q от времени, получим примерно картину, изображенную на рис. 3. До момента t_0 электронные пучки образуются в области нижних C ($C < 0$). Наименьшие фокусирующие силы будут на внутренней стороне камеры, поэтому величина Q будет определяться именно этими силами. По мере перемещения к большим C эти силы растут, растет соответственно и количество движущихся в камере электронов Q (кривая II). При переходе в область $C > 0$ наименьшими фокусирующими силами будут силы на наружной границе, ими будет определяться и количество удерживаемого в камере заряда (кривая I). Общий ход изменения Q будет представлен кривой ABC.

Если равновесный пучок не образуется в какой-либо из интервалов времени, то Q продвинется в область самых больших C и в захват практически никакого заряда не пойдет.

Если же в некоторый момент t_1 образуется равновесный пучок, то количество электронов Q_1 , имевшееся в этот момент, и пойдет в ускорение. Моменту создания равновесного пучка t_2 будет соответствовать заряд Q_2 и т. д. (рис. 4).

Момент создания равновесного пучка определяется током инжекции i , именно равновесный пучок будет создаваться в тот момент или интервал времени, когда плотность ρ_i пучка электронов, выбрасываемого из пушки, приблизительно равна равновесной плотности $\rho_{рав}$ электронов того C , которые циркулируют в данный момент в камере²⁾.

¹⁾ Движение интервала захвата ΔC должно идти в согласии с направлением изменения напряжения вводимых электронов, т. е. на фронте импульса при возрастании U возрастает и C , на хвосте импульса — уменьшению U соответствует уменьшение C (рис. 1). Поэтому Видероз [3] неправ, когда считает, что кривая импульса i (рис. 2) дает захват на фронте. Для такого рода кривой согласование между ростом U и C отсутствует (C уменьшается, U растет) и такой импульс не дает захвата.

²⁾ Когда происходит „утруска“ в равновесный пучок, происходит некоторая потеря электронов, и пучок сжимается. Новый захват может начаться только, когда вновь будет иметь место равенство $\rho_i = \rho_{рав}$ для электронов того же C .

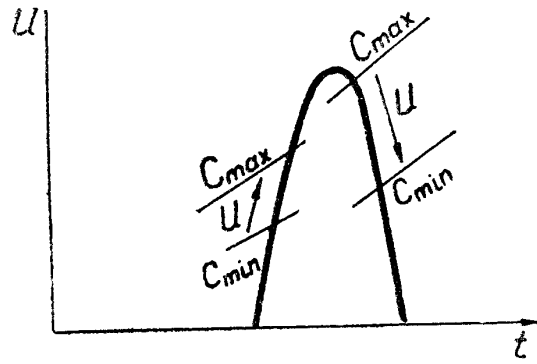


Рис. 1

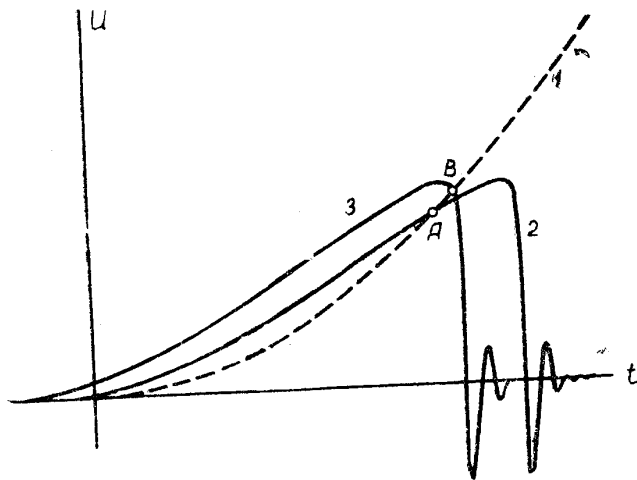


Рис. 2

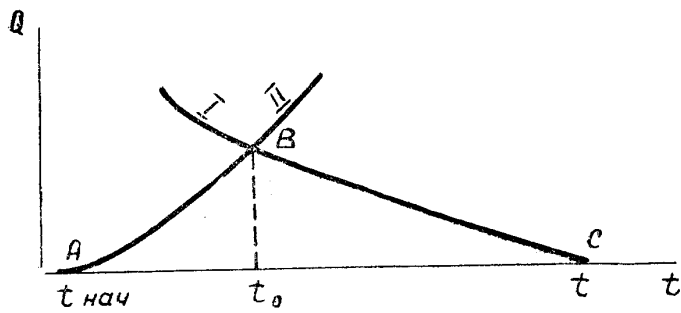


Рис. 3

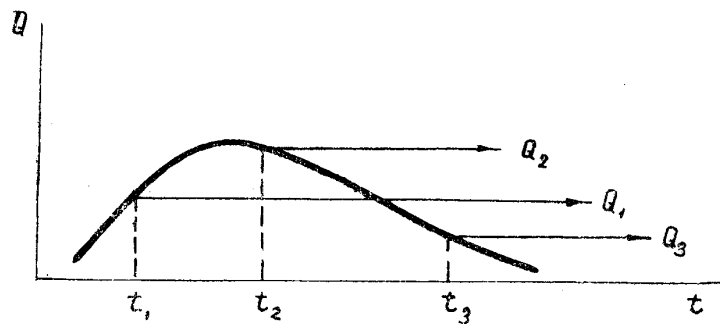


Рис. 4

Поскольку

$$\rho_i = \frac{i_{(амп)}}{(1,6 \cdot 10^{-19} \cdot 5,93 \cdot 10^7 \sqrt{U_0 \sin \omega t}} \quad (13)$$

то можно написать

$$\rho_{рав}(t) = \frac{i}{1,6 \cdot 10^{-19} \cdot 5,93 \cdot 10^7 \sqrt{U_0 \sin \omega t}} \quad (14)$$

Так как пучки для разных C создаются в окрестностях разных R_c , где n_c также разные, то эффект взаимодействия пучков, определяющий создание равновесного пучка, будет тем слабее, чем больше n_c , ибо пучок

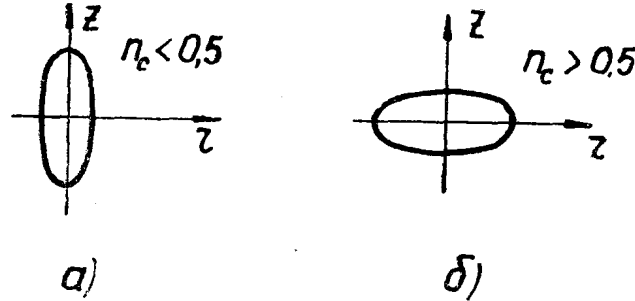


Рис. 5

в этом случае имеет форму, подобную рис. 5-б. Потребуется большая плотность тока, т. е. большая плотность ρ_i для данного момента t , чтобы вызвать нужный эффект¹⁾.

Поэтому вводим множитель $\frac{n_c}{1-n_c}$:

$$\rho_{рав}(t) \cdot \frac{n_c}{1-n_c} = \frac{i}{1,6 \cdot 10^{-19} \cdot 5,93 \cdot 10^7 \sqrt{U_0 \sin \omega t}} \quad (15)$$

$\rho_{рав}(t)$ находится из формулы

$$4 \pi e \rho_{рав} = \frac{2V}{R_c^2} = \frac{2}{R_c^2} \left[\sqrt{V_{мо}(R_c)} + \frac{C}{R_c} \sqrt{\frac{e}{2mc^2}} \right]^2, \quad (16)$$

где $V_{мо}$ — значение потенциальной функции на дне потенциальной ямы электронов сорта C (т. е. на радиусе R_c).

Вводя $V_{мо} = V_0 \cdot U'(R_c)$, где $V_0 = \frac{e A_0^2}{2mc^2}$ и $U'(R_c)$ определяется (см. [2]) выражением

$$U'(R_c) = [a J_1(kR_0) + b N_1(kR_0)]^2, \quad (17)$$

получим

$$4 \pi e \rho_{рав} = \frac{2V_0}{R_c^2} \left[\sqrt{U'(R_c)} + \frac{C}{R_c \sqrt{V_0}} \cdot \sqrt{\frac{e}{2mc^2}} \right]^2. \quad (18)$$

¹⁾ Механизм утруски пучков в равновесный пучок действует тогда, когда имеются достаточно четко очерченные пучки, вытянутые вдоль оси Z .

Для вычисления величины тока i , требующегося для того, чтобы захват получился в момент t , необходимо найти связь между t и соответствующим значением радиуса R_c . Эта связь находится следующим образом. Для дна ямы электронов сорта C можно написать

$$C = \sqrt{\frac{2mc^2}{e}} V_0 \cdot \frac{R_c^2 \left(\frac{\partial U'}{\partial r} \right)_{R_c}}{2 \sqrt{U'(R_c)}}. \quad (19)$$

Так как, с другой стороны,

$$C = F \sqrt{U_0 \sin \omega t} - 334 H_{z0},$$

то

$$F \sqrt{U_0 \sin \omega t} - 334 H_{z0} = \frac{R_c^2 \left(\frac{\partial U'}{\partial r} \right)_{R_c}}{2 \sqrt{U'(R_c)}} \cdot R_0 H_{z0}. \quad (20)$$

Обозначив через $f(R_c)$ выражение

$$f(R_c) = \frac{R_c^2 \left(\frac{\partial U'}{\partial r} \right)_{R_c}}{2 \sqrt{U'(R_c)}}, \quad (21)$$

получим

$$f(t) = \frac{F \sqrt{U_0 \sin \omega t}}{R_0 H_{zam} \Omega (\tau_0 + t)} - 22,25.$$

Построив графики функции $f(R_c)$ и $f(t)$, мы найдем для каждого момента времени t соответствующее R_c , так как $f(R_c)$ должно равняться $f(t)$.
Формула

$$i(a, mn) = \frac{5,93 \cdot 10^7 \sqrt{U_0 \sin \omega t}}{2 \pi R_c^2} V_0 \left[\sqrt{U'(R_c)} + \right. \\ \left. + \frac{C}{R_c \sqrt{V_0}} \sqrt{\frac{e}{2mc^2}} \right]^2 \frac{n_c}{1 - n_c} \cdot 0,33 \cdot 10^{-9} \quad (22)$$

дает ток инжекции, необходимый для создания равновесного пучка в момент t .

Расчет количества захватываемых электронов Q ведем следующим образом. Считаем пучок электронов с некоторым значением C , имеющим форму тороида. На границе пучка силы фокусирующие магнитного поля равны силам дефокусирующим электрического поля

$$\frac{\partial V_m}{\partial r} = \frac{\partial \varphi}{\partial r},$$

$$\frac{\partial V_m}{\partial z} = \frac{\partial \varphi}{\partial z}.$$

На поверхности пучка

$$d\varphi = \frac{\partial \varphi}{\partial r} dr + \frac{\partial \varphi}{\partial z} dz = 0$$

также

$$dV_{\mathcal{M}} = \frac{\partial V_{\mathcal{M}}}{\partial r} dr + \frac{\partial V_{\mathcal{M}}}{\partial z} dz = 0. \quad (23)$$

Отсюда уравнение контура сечения пучка

$$\frac{dz}{dr} = - \frac{\frac{\partial V_{\mathcal{M}}}{\partial r}}{\frac{\partial V_{\mathcal{M}}}{\partial z}}. \quad (24)$$

Для простоты берем ямы в виде параболоида

$$V_{\mathcal{M}c} = V_{\mathcal{M}c0} \left(1 + \frac{1-n_c}{R_c^2} x_c^2 + \frac{n_c}{R_c^2} z^2 \right),$$

где $x_c = r - R_c$. Тогда из

$$\frac{dz}{dr} = - \frac{(1-n_c)}{n_c} \cdot \frac{x_c}{z}$$

получаем

$$\frac{z^2}{\left(\frac{1-n_c}{n_c}\right)a^2} + \frac{x_c^2}{a^2} = 1. \quad (25)$$

Полагая $a = (R_i - R_c)$, будем иметь

$$b = (R_i - R_c) \sqrt{\frac{1-n_c}{n_c}} = a \sqrt{\frac{1-n_c}{n_c}}, \quad (26)$$

где R_i — радиус пушки, если пучки располагаются на верхних ямах. Если пучки будут на нижних ямах, то вместо R_i берем R_j — радиус внутренней стенки камеры.

Полное число электронов в равновесном пучке на ямах в окрестности ямы с постоянной C будет приблизительно равно

$$\begin{aligned} Q &= 2 \pi^2 R_c (R_i - R_c)^2 \sqrt{\frac{1-n_c}{n_c}} \rho_{\text{рав}} = \\ &= \pi (R_i - R_c)^2 \sqrt{\frac{1-n_c}{n_c}} \cdot \frac{V_0}{e R_c} \left[\sqrt{U(R_c)} + \frac{C}{R_c \sqrt{V_0}} \sqrt{\frac{e}{2mc^2}} \right]^2. \quad (27) \end{aligned}$$

Вычислив для разных моментов времени величины Q , мы можем сопоставить их со значениями тока инжекции для соответствующих моментов времени и построить зависимость Q от i при заданной фазе инжекции τ_0 .

Аналогично вычисляется Q по внутренней стенке камеры, только вместо R_i в формуле (27) становится R_j .

Сравнение теоретических кривых с экспериментальными

На рисунках 6 и 7 представлены основные экспериментальные кривые. Кривые рис. 6 дают зависимость интенсивности излучения (которую считаем пропорциональной количеству захваченных в ускорение электронов)

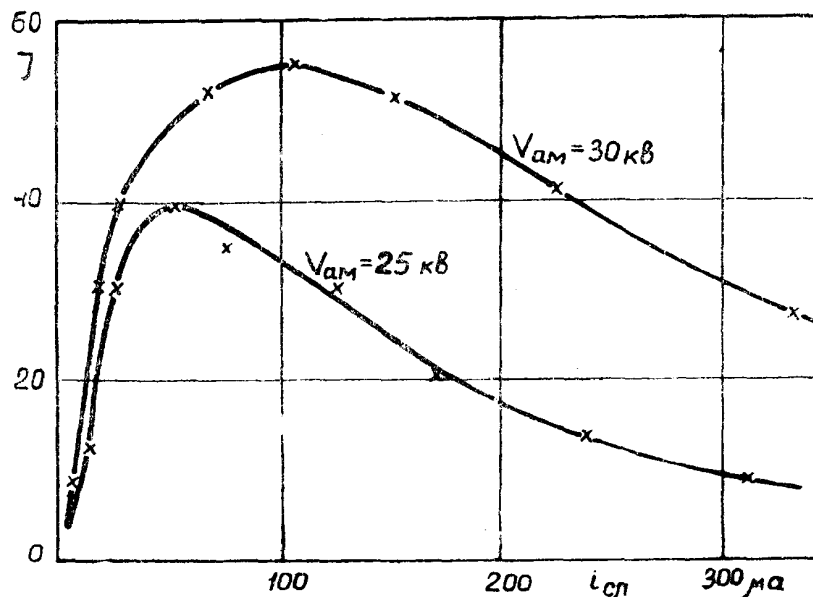


Рис. 6

от тока инжекции при разных напряжениях инжекции (кривые снимались при подгонке фазы импульса при каждом изменении тока инжекции на максимум излучения).

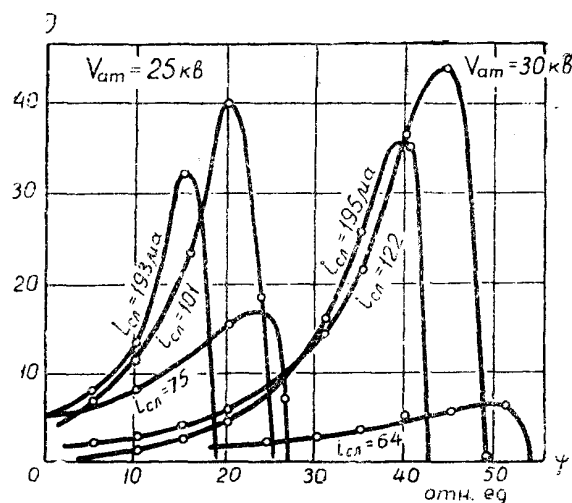


Рис. 7

Рис. 7 дает зависимость интенсивности излучения от фазы импульса τ_0 при разных токах инжекции и при разных напряжениях инжекции. На рис. 8 представлены результаты вычисления Q по нашим формулам. Сплошные линии соответствуют захвату на фронте импульса, пунктирные

захвату на хвосте. Характерная особенность кривых при больших фазах ($\tau_0 = 21 \text{ мксек}$): кривые Q , вычисленные по внешней границе, и кривые Q , вычисленные по внутренней границе, не пересекаются. Это означает, что захват в этом случае идет только на нижних ямах.

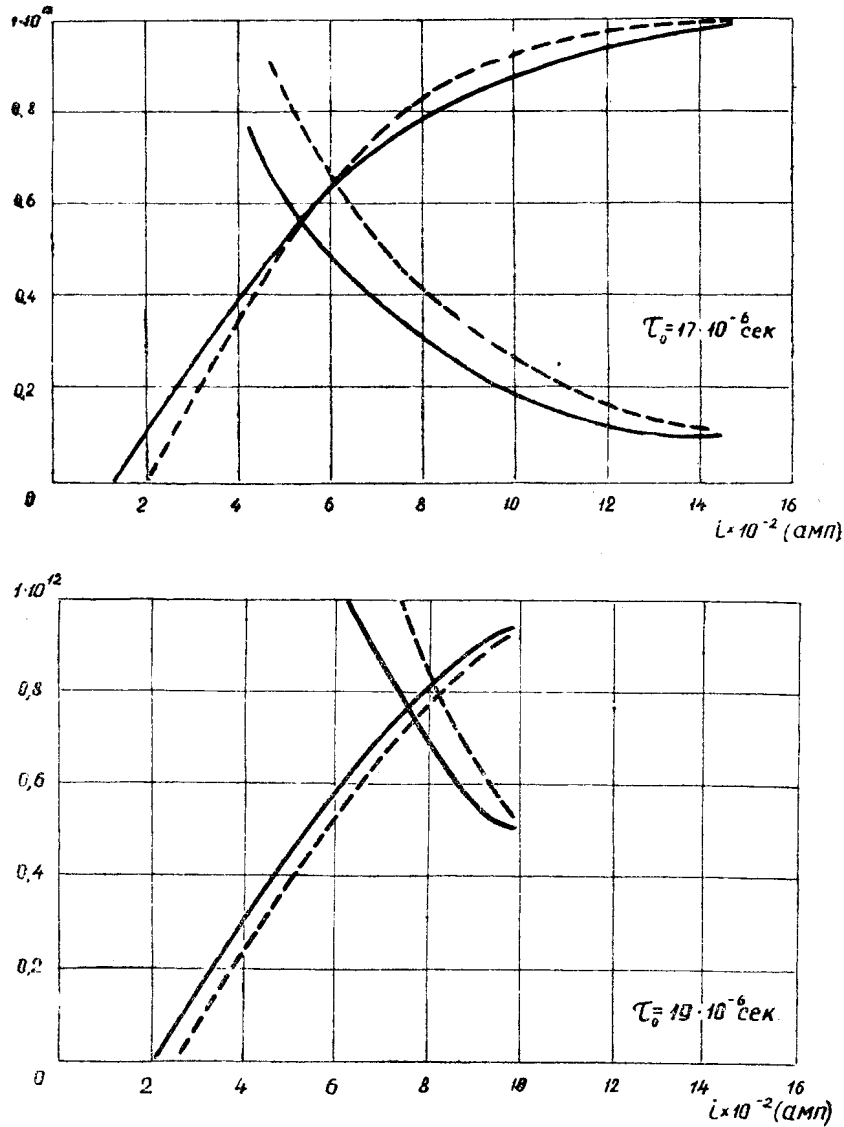


Рис. 8

Схематически система таких кривых для разных фаз инжекции представлена на рис. 9 (для захвата только на фронте или только на хвосте). Крайние правые точки каждой кривой соответствуют максимальному току инжекции, способному вбросить электроны в потенциальную яму (существование точек обрыва интенсивности подтверждается опытом).

Пунктирная линия, проведенная по максимумам кривой и по крайним точкам кривых, дает кривую, соответствующую кривым рис. 6.

Если по кривым рис. 9 построить кривые зависимости Q от фазы инжекции при различных токах инжекции, например, i_1 и i_2 , получаются кривые, подобные кривым рис. 7 с характерным для них резким спадом интенсивности при переходе через определенную фазу. Однако при малых

токаx (напр. i_3) таких кривых не получается. Это может быть связано с тем обстоятельством, что как раз для малых C кривые $n(r)$, рассматриваемые нами, и кривые $n(r)$, имевшие место для бетатрона, на котором были сняты кривые рис. 7, весьма отличны.

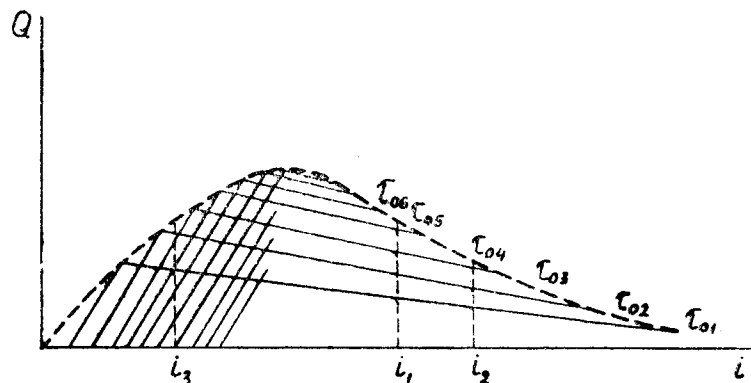


Рис. 9

На схематизированном рис. 10 хорошо видно, почему при перемещении импульса инжекции вправо интенсивность при заданном токе инжекции, соответствующем определенной полосе ΔC области захвата, изображенной на рисунке жирными полосками, сначала растет и затем резко падает, когда импульс выходит из области ΔC .

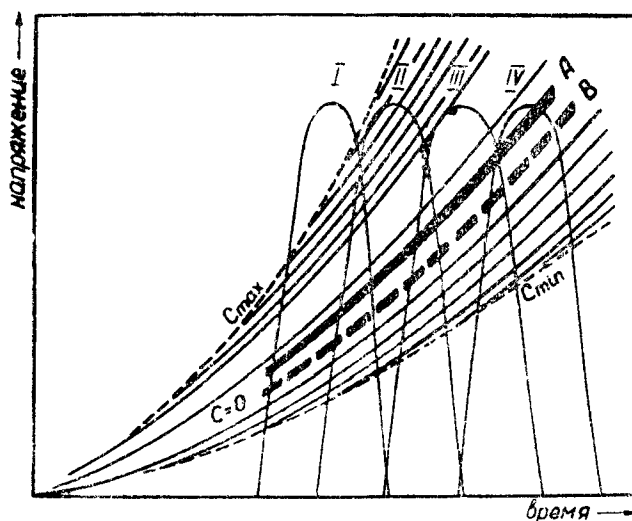


Рис. 10

Таким образом, излагаемая здесь теория дает хорошее качественное и количественное толкование закономерностей захвата и открывает возможность целенаправленной экспериментальной работы по уточнению самих закономерностей и их теоретического толкования.

ЛИТЕРАТУРА

1. Родимов Б. Н. О механизме захвата электронов в ускорение в бетатроне. Известия ТПИ, т. 87, 1957.
2. Родимов Б. Н. Закономерности магнитного поля бетатрона. Известия ТПИ, т. 87, 1957.
3. R. Widevöe, Jour. Appl. Phys. 22, 362, 1951.